

Никель-водородный теплогенератор, непрерывно проработавший 7 месяцев

А.Г. Пархомов¹, В.А. Жигалов¹, С.Н. Забавин¹, А.Г. Соболев², Т.Р. Тимербулатов¹

Аннотация—Создан никель-водородный теплогенератор, непрерывно проработавший 225 суток при мощности тепловыделения сверх затраченной электроэнергии от 200 до 1000 Вт (тепловой коэффициент 1,6 – 3,6). Завершение работы связано с исчерпанием энергетического ресурса топлива. Общая наработка избыточной энергии около 4100 МДж. В качестве топлива в теплогенераторе использован насыщенный водородом порошок никеля массой 1,2 г. Выделение энергии на 1 атом никеля 2,1 МэВ. Анализируются изменения элементного и изотопного состава топлива и конструкционных материалов.

I. КОНСТРУКЦИЯ ТЕПЛОГЕНЕРАТОРА

Устройство теплогенератора (рис. 1) в общих чертах похоже на устройство ряда реакторов, созданных авторами этой статьи [1], [2], [3]. Основными отличиями являются применение более жаростойкой керамики и более надежная герметизация. Топливо (1,2 г порошка никеля ПНК-ОТ2) находилось в керамической трубке. Нагревателем служила спираль из вольфрамового провода, навитая на керамическую трубку, насаженную на трубку с топливом. Между трубкой с топливом и трубкой с нагревателем находился спай вольфрам - рениевой термопары. Хромель-алиюмелевая термопара контролировала температуру наружной поверхности внешней керамической трубки. Теплостойкие центрирующие шайбы удерживали внутренние трубы в середине внешней. Торцы внешней трубы изолированы от атмосферы силиконовым герметиком. Благодаря достаточно большой длине внешней трубы и низкой теплопроводности керамики, во время работы теплогенератора температура ее концов не превышала температуру, допустимую для силикона. Из торцов реактора, помимо проводов нагревателя и термопары, выходит металлическая трубка для подключения манометра.

Электропитание реактора осуществлялось от вторичной обмотки трансформатора мощностью 630 Вт (рис. 2). Переключатель отводов вторичной обмотки позволял задавать нужную мощность нагрева. Термопара, измерявшая температуру трубы с топливом, подключена к терморегулятору TPM-500, отключающему питание при превышении предельной температуры.

¹ОКЛ КИТ, Москва, alexparh@mail.ru.

²ФИАН РАН, Москва.

Другой такой же прибор измерял температуру поверхности внешней трубы. Мощность электронагрева измерялась вольтметром и амперметром на выводах нагревателя, а также ваттметром, установленным на входе трансформатора. Сопоставление мощности на нагревателе с мощностью на первичной обмотке позволяет определить потери в трансформаторе и проводах. Это необходимо для внесения поправки в результаты измерений расхода электроэнергии по импульсам с электросчетчика “Меркурий – 201”, регистрируемым компьютером. Помимо температур и расхода электроэнергии, компьютер регистрировал импульсы со счетчика Гейгера, расположенного около теплогенератора.

II. ПРЕДВАРИТЕЛЬНЫЕ ОПЕРАЦИИ

На подготовительном этапе с целью удаления остатков воды и других летучих загрязнений из реактора форвакуумным насосом был откачен воздух при температуре до 300°C. После этого теплогенератор был заполнен водородом при давлении близком к атмосферному и выдерживался при температуре около 350°C 3 часа для очистки поверхности гранул никеля. После этого была сделана вторичная откачка газа для удаления воды, появившейся в результате восстановления оксида никеля водородом. Затем реактор был вторично наполнен водородом и выдерживался на протяжении 3 суток при температуре 350°C. Далее, после двукратного повторения цикла откачки – наполнения водородом теплогенератор был перемещен со стенда предварительной подготовки на основное рабочее место. Вид на работающий теплогенератор, измерительную и электrosиловую аппаратуру показан на рис. 3.

III. ИЗМЕНЕНИЕ ПАРАМЕТРОВ ТЕПЛОГЕНЕРАТОРА В ПРОЦЕССЕ РАБОТЫ

На протяжении первого дня мощность нагрева электрическим током постепенно увеличивалась, что сопровождалось плавным ростом температуры внутри теплогенератора до температуры около 1100°C при потребляемой мощности 400 Вт (рис. 4). Дальнейшее увеличение мощности до 700 Вт привело к нагреву до 1500°C и появлению тепловыделения сверх потребляемой электрической мощностью около 130 Вт. После снижения мощности электронагрева до прежнего

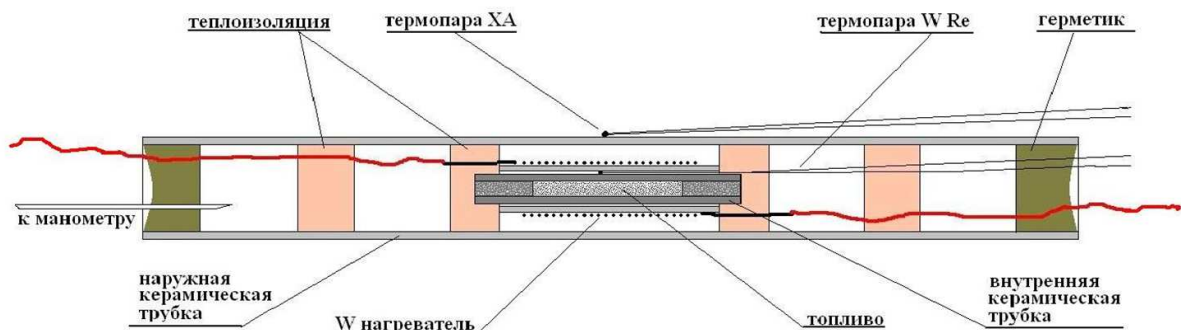


Рис. 1. Устройство теплогенератора.

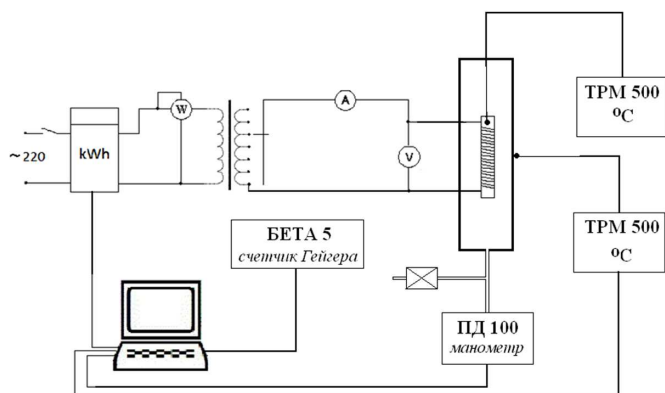


Рис. 2. Схема электропитания и измерительной аппаратуры.

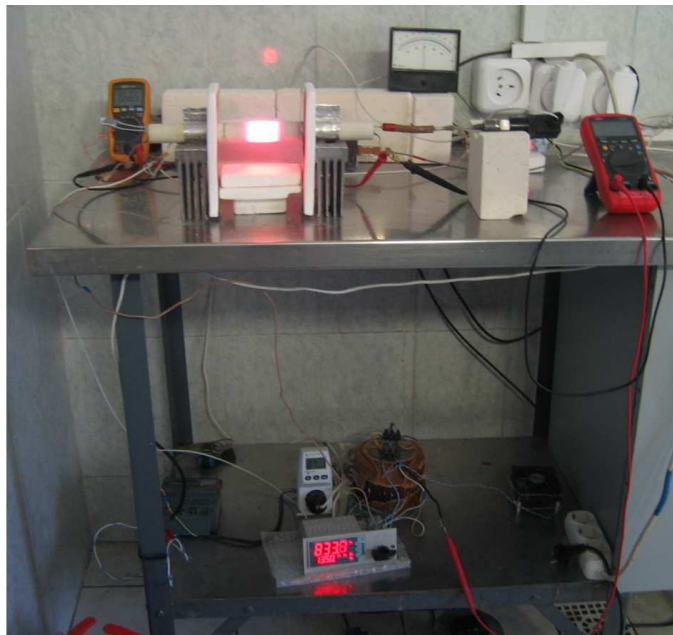


Рис. 3. Вид на работающий теплогенератор.

уровня мощность избыточного тепловыделения снизилась до 80 Вт, причем отношение мощности тепловыделения к потребляемой электрической мощности (СОР) сохранилось на уровне 1,2. Методика определения избыточной мощности и СОР будет изложена

ниже.

В дальнейшем при неизменной потребляемой мощности на протяжении 18 часов температура внутри реактора увеличилась с 1200 до 1500°C, а СОР изменился с 1,2 до 2,3 (рис.5). Увеличение мощности электронагрева до 700 Вт привело к непродолжительному подъему температуры до 1800°C и возрастанию СОР до 2,7. Но после этого при такой же мощности электронагрева температура и СОР резко упали. Примерно через два часа температура вернулась к прежнему значению (1800°C), причем столь высокая температура сохранилась и после снижения мощности электронагрева до 400 Вт. При этом, мощность избыточного тепловыделения превысила 1000 Вт, а величина СОР достигла 3,6. Столь высокие значения сохранялись около 6 часов. Затем началось снижение, и через день при неизменной мощности электронагрева температура снизилась до 1300°C, а избыточное тепловыделение до 200 Вт.

Дальнейшая работа теплогенератора с 14.10.2017 до 23.05.2018 (рис.6) проходила при мощности электронагрева, менявшейся в пределах от 350 до 380 Вт из-за нестабильности напряжения электросети. Исключением было несколько кратковременных повышений мощности нагрева. Эти контрольные повышения, кроме последнего, сделанного 17 мая, приводили к увеличению температуры и СОР. Увеличение мощности 17 мая также привело к росту температуры, но величина СОР осталась близкой к 1, что свидетельствовало об исчерпании ресурса теплогенератора.

Несмотря на то, что мощность электронагрева менялась в небольших пределах, другие параметры, характеризующие работу теплогенератора, менялись значительно. Постепенное самопроизвольное снижение температуры внутри теплогенератора и избыточного тепловыделения, продолжавшееся до 13 октября, сменилось ростом, длившимся до 18 октября. Температура достигла 1550°C, мощность избыточного тепловыделения возросла до 550 Вт (СОР=2,5). После этого опять произошло снижение, сменившееся постепенным ростом, продолжавшимся до середины декабря (см.рис.6). С середины декабря до середины марта температура внутри реактора менялась в пределах 1300-1400°C, мощность избыточного тепловыделения постепенно па-

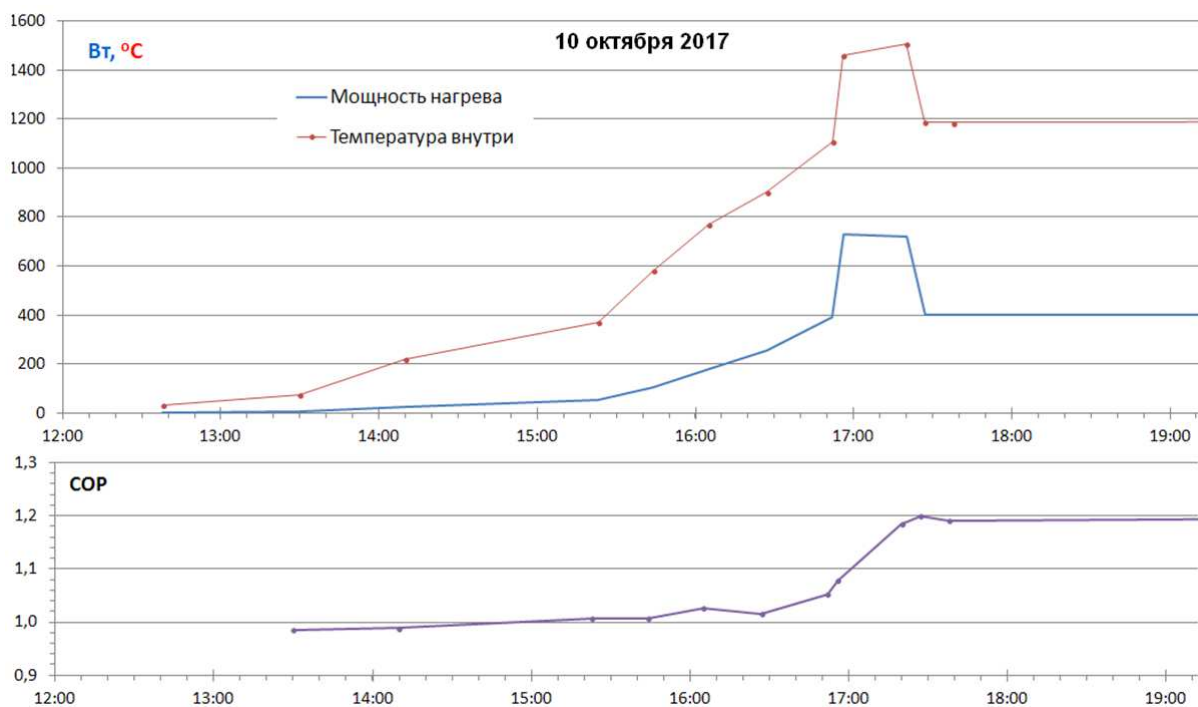


Рис. 4. Начало работы теплогенератора.

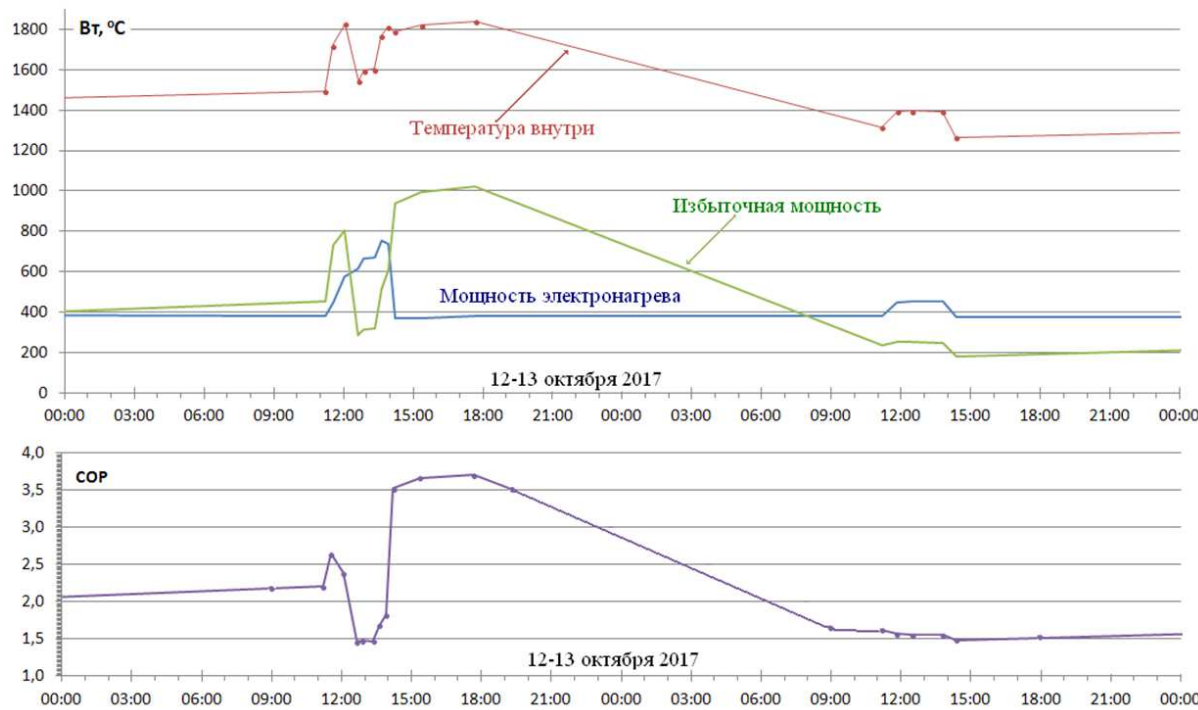


Рис. 5. 3-4 сутки работы теплогенератора.

дала с 300 до 200 Вт, а величина СОР снизилась с 1,9 до 1,5.

В начале работы теплогенератора давление водорода было близким к атмосферному. В первые дни в процессе нагрева избыточное давление иногда повышалось вплоть до 1 бар. В таких случаях путем кратковременного открытия специального клапана давление

снижалось до атмосферного. Начиная с третьих суток давление падало, стало ниже атмосферного и через два месяца стабилизировалось на уровне -0,8 бар. 16 марта в теплогенератор был добавлен водород до давления близкому к атмосферному. Это привело к небольшому росту температуры и избыточного тепловыделения (величина СОР возросла с 1,5 до 1,7), но затем избыточ-

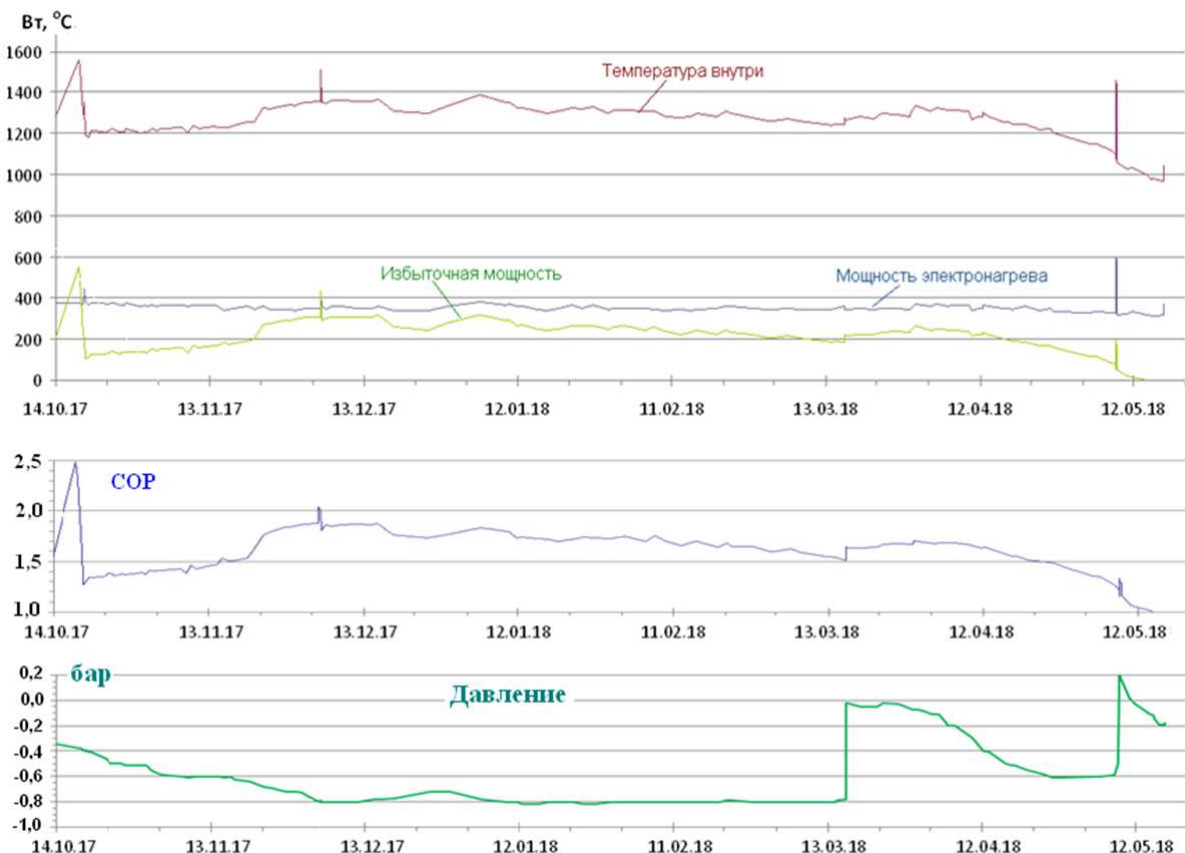


Рис. 6. Работа теплогенератора на протяжении 7 месяцев.

ная мощность стала падать ускоряющимися темпами. Попытка “оживить” теплогенератор 8 мая вторичным добавлением водорода и увеличением мощности электронагрева существенных результатов не дала. 14 мая выделение избыточного тепла прекратилось.

IV. ОПРЕДЕЛЕНИЕ МОЩНОСТИ ТЕПЛОВЫДЕЛЕНИЯ

Измерение потребляемой мощности, если используются резистивные нагреватели, подключенные к источникам постоянного или низкочастотного переменного тока, нетрудно осуществить с погрешностью порядка десятых долей процента, используя современную аппаратуру. Сложнее измерить мощность выделяющегося тепла. В различных установках для этого использованы калориметры, определяющие мощность тепловыделения по скорости нагрева воды или воздуха или по количеству испаряющейся воды [3], [4], [5], [6]. Однако при проведении длительных экспериментов применение этих методов является проблематичным.

В описываемом исследовании определение мощности тепловыделения осуществляли без специального калориметра. Эта методика основана на допущении о том, что температура в некоторой точке устройства, в котором выделяется тепло, при неизменных условиях теплосъема с этого устройства, однозначно связана с мощностью тепловыделения в этом устройстве. Зависимость мощности тепловыделения от температуры

(для каждой точки устройства особенная) определяется распределением источников тепла, теплопроводностями конструктивных элементов и условиями теплосъема с поверхности. Ее точный расчет ввиду крайней сложности не представляется возможным. Но в первом приближении можно считать, что коэффициенты теплопроводности постоянны, мощность теплоотдачи с поверхности устройства путем теплопроводности и конвекции линейно зависит от разности температуры в точке измерения и температуры окружающей среды $\Delta t = t - t_0$, а мощность теплоотдачи путемлучеиспускания, в соответствии с законом Стефана-Больцмана, возрастает пропорционально четвертой степени абсолютной температуры $T = 273 + t$, если t измеряется в градусах Цельсия. Отсюда следует, что зависимость мощности тепловыделения от температуры можно аппроксимировать полиномом четвертой степени $f(t) = a + b(\Delta t) + c(\Delta t)^2 + d(\Delta t)^3 + e(273 + t)^4$. Коэффициенты подбираются эмпирически так, чтобы аппроксимирующая функция наилучшим образом согласовывалась с результатами калибровочных измерений. Дополнительные члены второй и третьей степени позволяют ввести поправки, учитывающие отличие реальности от допущенной идеализации (прежде всего, зависимость от температуры коэффициентов теплопроводности и излучательной способности).

Калибровочные измерения можно сделать, использу-

зая резистивный электронагреватель, тепловыделение в котором на 100% обусловлено потребляемой электроэнергией (точное измерение которой не представляет проблемы). Для этого надо измерить мощности нагрева, требующиеся для установления в некоторой точке устройства определенных температур. Понятно, что эти измерения необходимо делать, когда устройство достигает состояния, близкого к тепловому равновесию. В описываемом в этой статье теплогенераторе для этого требовалось 20 – 30 минут.

Для проведения калибровочных измерений можно использовать само устройство, но измерения должны быть сделаны таким образом, чтобы тепловыделение происходило только в резистивном нагревателе. Опыт показывает, что до температуры 1000°C в никеле, насыщенном водородом, не происходит заметных выделений или поглощений энергии. Эту область температур можно использовать для построения низкотемпературной части калибровочной кривой. В нашем случае появилась возможность дополнить эти измерения измерениями при более высокой температуре после того, как ресурс работы устройства полностью исчерпался. Кроме того, измерения после исчерпания ресурса при низкой температуре показали, что ход зависимости за время 7-месячной работы заметно не изменился.

Результаты калибровочных измерений и аппроксимирующая кривая показаны на рис. 7. Видно, что качество аппроксимации вполне удовлетворительное.

На рис. 8 представлены результаты измерений, полученные до исчерпания ресурса выработки избыточного тепла. Видно, что измерения при температурах ниже 1000°C дают результаты, близкие к калибровочной кривой. При более высоких температурах результаты измерений располагаются ниже калибровочной кривой, что указывает на наличие тепловыделения, дополнительного к электронагреву. Температура устанавливается в результате суммирования тепла, выделяемого электронагревателем, и дополнительного тепла. Разница ординат калибровочной кривой и результата измерения есть мощность дополнительного тепловыделения. Отношение мощности общего тепловыделения к мощности затраченной электроэнергии (СОР) можно найти как отношение ординаты калибровочной кривой к мощности, потреблявшейся электронагревателем.

V. АНАЛИЗ ИЗОТОПНЫХ И ЭЛЕМЕНТНЫХ ИЗМЕНЕНИЙ В ТОПЛИВЕ И КОНСТРУКЦИОННЫХ МАТЕРИАЛАХ

Наработка избыточной энергии за более чем семимесячную работу теплогенератора (4100 МДж) сравнивается с наработкой на теплогенераторе Rossi в Лугано (5800 МДж) [7], [8], анализ топлива которого показал весьма значительные изотопные изменения в никеле и литии. Можно было ожидать сильные изотопные изменения и в топливе нашего теплогенератора. Но анализы, сделанные в НИЦ “СИНТЕЗЕХ” и университете Упсала в Швеции (там же, где был сделан анализ топлива теплогенератора Rossi), не обнаружили существенных

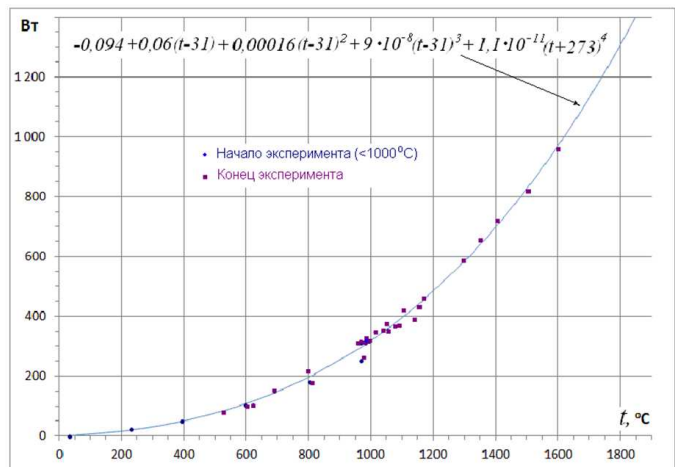


Рис. 7. Зависимость потребляемой мощности от температуры внутри теплогенератора при калибровочных измерениях. Вверху показан полином, аппроксимирующий эту зависимость. Представлены результаты измерений, полученные в первый день работы теплогенератора при температуре < 1000°C и в последние дни после прекращения избыточного тепловыделения.

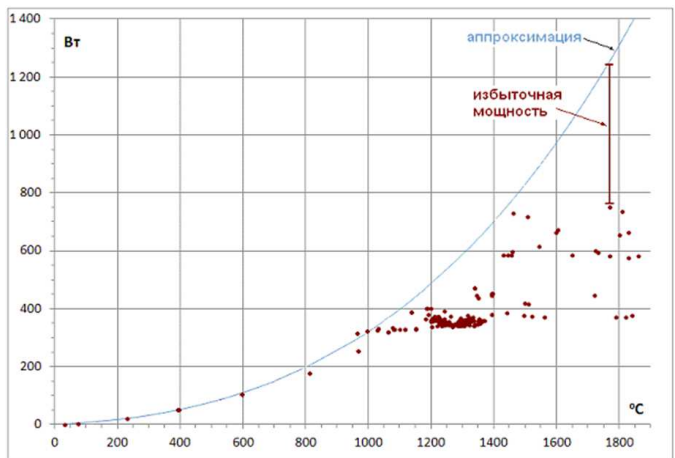


Рис. 8. Температура и потребляемая электрическая мощность при работе теплогенератора до исчерпания ресурса.

изотопных аномалий в никеле, “отработавшем” в нашем теплогенераторе (см. таблицу I).

В университете Упсала, помимо анализа присланных нами образцов, сделан анализ никелевого стандарта. Этот анализ, так же как и анализ образца “до”, дал результаты, отличающиеся от данных из справочника [9], что указывает на наличие в этих измерениях систематической ошибки. Перед анализом образцы растворялись в смеси HCl + HNO₃, однако образец “после” растворился лишь частично. Остаток был сплавлен с боратом лития, после чего он полностью растворился в азотной кислоте. Результаты анализов с использованием двух способов растворения показаны в таблице в столбцах “после 1” и “после 2”. Отличия от анализов стандарта и исходного никеля лежат в пределах возможной ошибки.

Анализ исходного никеля, сделанный в НИЦ “СИНТЕЗЕХ” показал результаты, близкие к данным из

Таблица I
РЕЗУЛЬТАТЫ ИЗОТОПНОГО АНАЛИЗА НИКЕЛЯ МЕТОДОМ ICP-MS (МАСС-СПЕКТРОМЕТРИЯ С ИНДУКТИВНО-СВЯЗАННОЙ ПЛАЗМОЙ) ДО И ПОСЛЕ РАБОТЫ В ТЕПЛОГЕНЕРАТОРЕ, АТОМНЫЕ %

	Синтезтех		Упсала			Справочник	
	До	После	Стандарт	До	После1		
Ni-58	68,22	68,35	65,15	65,31	64,87	64,80	68,27
Ni-60	25,99	26,26	28,20	28,02	28,49	27,63	26,10
Ni-61	1,32	0,86	1,27	1,25	1,27	1,36	1,13
Ni-62	3,54	3,61	4,19	4,20	4,21	4,56	3,59
Ni-64	0,91	0,91	1,19	1,22	1,17	1,65	0,91



Рис. 9. Реактор после завершения работы. Показано содержание элементов (%) в некоторых местах, где были взяты пробы. Остальную массу в основном дают входящие в состав керамики Al и Si.

справочника [9]. Заметим, что содержание ^{64}Ni не определялось в связи с возможным наложением ^{64}Zn , поэтому в таблице приведены данные для этого изотопа из справочника [9]. Измерения показали заметное снижение содержания ^{61}Ni , однако этот результат не подтвердился анализом, сделанным в Упсале.

Кроме никеля, в НИЦ “СИНТЕЗТЕХ” был сделан анализ изотопного состава вольфрамового провода нагревателя до и после пребывания в теплогенераторе. Изменений в изотопном составе не обнаружено.

Заметим, что существенных изменений не обнаружено не только в описываемом, но и ни одном из никель-водородных реакторов, где делались такие анализы [10], [11], [12], [13], [14]. Реактор в Лугано [7], [8] является исключением.

Анализ элементного состава вещества образцов, взятых в разных местах теплогенератора, сделан в НИЦ “СИНТЕЗТЕХ” и ООО “АМТЕРТЕК” методом энергодисперсионной рентгено-флуоресцентной спектроскопии. Отметим, что этот метод анализирует поверхностный слой вещества и не позволяет определять элементы легче алюминия. Обнаружено множество элементов, в том числе, изначально в топливе и конструкционных материалах практически отсутствующих (V, Ga, Co, Sr, Yb, Hf). Особенно много появилось кальция. Во внутренней керамической трубке содержание кальция достигло 23% при исходном содержании около 1%. Некоторые из результатов показаны на рис. 9 и 10.

На этих рисунках показаны места, где были взяты пробы, и массовый процент тех элементов, содержание которых возросло многократно.

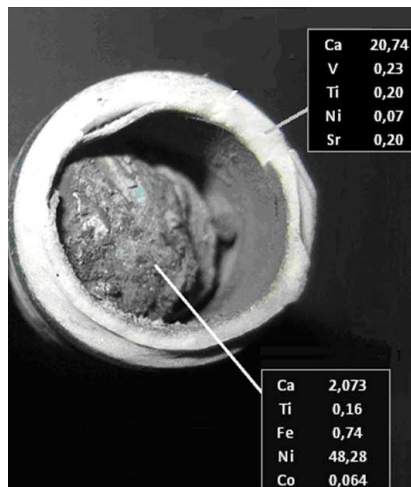


Рис. 10. Поперечный разрез внутренней трубки. Показано содержание элементов (%) во внутренней керамической трубке и в слитке, образовавшемся в центральной зоне. Остальную массу в основном дают входящие в состав керамики Al и Si.

VI. ЗАКЛЮЧЕНИЕ

Оптимизация конструкции, применение более жаростойких конструкционных материалов и надежная

герметизация позволили достичь 7-месячной длительности работы никель-водородного теплогенератора при избыточной мощности до 1 кВт. Превышение мощности тепловыделения над потребляемой электрической мощностью достигало 3,6. Суммарное выделение избыточного тепла около 4100 МДж (2,1 МэВ на 1 атом никеля). Такая энергия выделяется при сгорании 100 л нефтепродуктов.

В ходе процессов, происходивших в теплогенераторе, произошли изменения элементного состава вещества. Обнаружено множество элементов, в том числе, изначально в топливе и конструкционных материалах практически отсутствующих (V, Ga, Co, Sr, Yb, Hf). Особенно сильно возросло содержание кальция. Значительных изменений в изотопном составе никеля, а также вольфрама, не обнаружено.

Мы выражаем глубокую благодарность И.Н.Степанову за помощь с материалами и оборудованием, В.А.Карабанову, сотрудникам НИЦ “СИНТЕЗТЕХ” и ООО “АМТЕРТЕК” за высококачественные анализы, Во Höistad за конструктивное внимание к нашим работам и содействие в проведении анализов в университете Упсала, и всем апологетам холодных ядерных трансмутаций, без поддержки которых наша работа была бы невозможна.

СПИСОК ЛИТЕРАТУРЫ

- [1] Пархомов А.Г., Алабин К.А., Андреев С.Н и др. Никель-водородные реакторы: тепловыделение, изотопный и элементный состав топлива. *РЭНСИТ*, 9(1):74–93, 2017.
- [2] Пархомов А.Г., Алабин К.А., Андреев С.Н, Забавин С.Н., Соболев А.Г., Тимербулатов Т.Р. Экспериментальные исследования никель-водородных реакций с аномально высоким тепловыделением. *Прикладная физика и математика*, (5):3–24, 2017.
- [3] Пархомов А.Г. Длительные испытания никель-водородных теплогенераторов в проточном калориметре. *ЖФНН*, 4(12-13):74–79, 2016. <http://www.unconv-science.org/pdf/12/parkhomov-ru.pdf>.
- [4] Бажутов Ю.Н., Герасимова А.И., Корецкий В.П., Пархомов А.Г. Особенности потребления электроэнергии, выделения тепла и излучения в процессе плазменного электролиза. Материалы 21-й РКХТЯ и ШМ, Москва, 2015, с.122.
- [5] Пархомов А.Г. Исследование аналога высокотемпературного теплогенератора Росси. *ЖФНН*, 3(7):68–72, 2015.
- [6] Климон А.И., Белов Н.К., Толкунов Б.Н. Выделение тепловой энергии в водяном реакторе при импульсно-периодическом подводе электрической энергии. Материалы 24-й РКХТЯ и ШМ, Москва, 2018, с.65-72.
- [7] Levi G., Foschi E, Höistad B. Observation of abundant heat production from a reactor device and of isotopic changes in the fuel. – <http://www.sifferkoll.se/sifferkoll/wp-content/uploads/2014/10/LuganoReportSubmit.pdf>.
- [8] Пархомов А.Г. Отчет международной комиссии об испытании высокотемпературного теплогенератора Росси. *ЖФНН*, 2(6):57–61, 2014. <http://www.unconv-science.org/pdf/6/parkhomov2-ru.pdf>.
- [9] www.dpva.ru/Guide/GuideChemistry/PeriodicalMendeleevTable/IsotopiAbundance1.
- [10] Алабин К.А., Андреев С.Н., Пархомов А.Г. Результаты анализа изотопного и элементного состава топлива никель-водородных реакторов. *ЖФНН*, 3(10):49–53, 2015. <http://www.unconv-science.org/pdf/10/alabin-ru.pdf>.
- [11] Пархомов А.Г., Алабин К.А., Андреев С.Н., Забавин С.Н., Соболев А.Г., Тимербулатов Т.Р. Изменения изотопного и элементного состава в никель-водородных реакторах. *ЖФНН*, 5(15-16):97–104, 2017. <http://www.unconv-science.org/pdf/15/parkhomov-ru.pdf>.
- [12] Пархомов А.Г., Забавин С.Н., Соболев А.Г., Тимербулатов Т.Р. Анализ изменений изотопного и элементного состава в высокотемпературных никель-водородных реакторах. *Прикладная физика и математика*, (4):9–19, 2017. <http://www.unconv-science.org/pdf/15/parkhomov-ru.pdf>.
- [13] Пархомов А.Г., Алабин К.А., Андреев С.Н., Забавин С.Н., Соболев А.Г., Тимербулатов Т.Р. Изменения изотопного и элементного состава в никель-водородных реакторах. Материалы 24 Российской конференции по холодной трансмутации ядер химических элементов. Дагомыс, Сочи, 17 - 24 сентября 2017, с. 72-85.
- [14] Alabin K.A., Andreev S.N., Zabavin S.N., Parkhomov A.G., Sobolev A.G., Timerbulatov T.R. Isotopic and Elemental Composition of Substance in Nickel-Hydrogen Heat Generators. *J. Condensed Matter Nucl. Sci.*, 26:32, 2018. <http://www.unconv-science.org/pdf/15/parkhomov-ru.pdf>.